

## 水平加振を受ける偏心円筒二重槽タンク内容液の振動解析法

正会員 高西照彦  
 九州産業大学工学部 正会員 水田洋司  
 新日本製鐵 正会員 川口周作

1. まえがき 既設の水道用円筒形配水タンクに対して耐震補強と容量の増加を目的として、その外側周りにさらに円筒形タンクを築造し、全体として二重槽タンク（図-1）を構成して使用に供する場合がある。このとき二重槽タンクの内槽と外槽の中心が一致せず偏心がある場合に、それが地震による水平振動を受けたとき、その内容液の動的挙動を明らかにすることは、この種のタンクの耐震性を考える上に必要なことである。本論は、偏心円筒二重槽タンクが定常水平振動を受けたときの内容液の動的挙動を、双極座標変換と差分法を用いて理論解析を行い、その計算結果を振動台による振動実験によって得られた結果と比較することによって、理論解析法の有用性を示したものである。

2. 解析理論 二重槽タンクの内槽と外槽とに囲まれた内容液の運動を支配する方程式は、 $\varphi$  を速度ポテンシャルとして次のラプラスの方程式で表される。  

$$\frac{\partial^2 \varphi}{\partial x^2} + \frac{\partial^2 \varphi}{\partial y^2} + \frac{\partial^2 \varphi}{\partial z^2} = 0 \quad (1)$$

いま、図-2に示す様に、 $xy$  座標に変換

$\alpha + i\beta = \log[\{x + i(y+c)\}/\{x + i(y-c)\}] \quad (2)$  を施し、双極座標  $\alpha \beta$  を用いれば、式(1)は  $h^2(\partial^2 \varphi / \partial \alpha^2 + \partial^2 \varphi / \partial \beta^2) + \partial^2 \varphi / \partial z^2 = 0 \quad (3)$  と表される。ここに、 $i$  は虚数単位、 $1/h$  は写像拡大率で

$$h = (\cosh \alpha - \cos \beta)/c \quad (4) \quad \text{上式で } c \text{ は図-2に示す様に } y \text{ 軸上の定点 } O_c \text{ までの距離である。境界条件は (i) } \partial \varphi / \partial z = 0, \quad (z = -H) \quad (5)$$

$$(ii) \quad h(\partial \varphi / \partial \alpha) = -j(t) \cos \Theta, \quad (\alpha = \alpha_{a,b}, \Theta = \Theta_{a,b}) \quad (6)$$

$$(iii) \quad g \text{ を重力の加速度として } \partial^2 \varphi / \partial t^2 + g(\partial \varphi / \partial z) = 0, \quad (z = 0) \quad (7)$$

いま、式(1)の解を  $\varphi = \varphi_A(\alpha, \beta) + \varphi_B(\alpha, \beta, z) \quad (8)$  と置き、 $\varphi_A$  は

$$\partial^2 \varphi_A / \partial \alpha^2 + \partial^2 \varphi_A / \partial \beta^2 = 0 \quad (9)$$

$$h(\partial \varphi_A / \partial \alpha) = -j(t) \cos \Theta, \quad (\alpha = \alpha_{a,b}, \Theta = \Theta_{a,b}) \quad (10)$$

$$\text{を満足する様に定め、 } \varphi_B \text{ は } h^2(\partial^2 \varphi_B / \partial \alpha^2 + \partial^2 \varphi_B / \partial \beta^2) + \partial^2 \varphi_B / \partial z^2 = 0 \quad (11),$$

$$\partial \varphi_B / \partial \alpha = 0, \quad (\alpha = \alpha_{a,b}) \quad (12) \quad \partial \varphi_B / \partial z = 0 \quad (z = -H) \quad (13)$$

$$\partial^2 \varphi_B / \partial t^2 + g(\partial \varphi_B / \partial z) = -\partial^2 \varphi_A / \partial t^2, \quad (z = 0) \quad (14) \quad \text{を満足する様に定める。}$$

式(9),(10)を満たす  $\varphi_A$  は  $\varphi_A = (\sinh \alpha / h - c) j(t) \quad (15)$  で与えられる。  $\varphi_B$  については、式(13)の条件を満たす解を  $\varphi_B = \sum_{m=1}^{\infty} D_m \phi_m(\alpha, \beta) \cosh \xi_m(z + H) T_m(t) \quad (16)$  と置けば、 $\phi_m$  は式(11)から

$$h^2(\partial^2 \phi_m / \partial \alpha^2 + \partial^2 \phi_m / \partial \beta^2) + \xi_m^2 \phi_m = 0 \quad (17)$$

を満たすように定め、また、定数  $D_m$  を式(14)の条件を考慮して

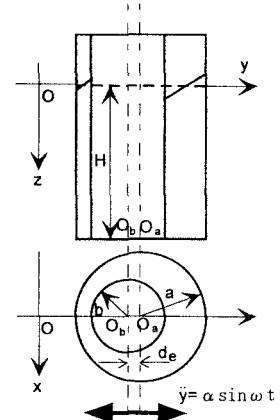


図-1 偏心二重槽円筒タンク

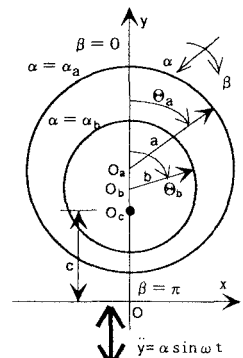


図-2 双極座標

$$\sum_{m=1}^{\infty} D_m \phi_m(\alpha, \beta) = g (\sinh \alpha / h - c) / 2 \quad (18)$$

が成立する様に定めれば、 $T_m$  は減衰項を考慮して

$$\ddot{T}_m + 2h_m \omega_m \dot{T}_m + \omega_m^2 T_m = -\{2/(g \cosh \xi_m H)\} \ddot{y} \quad (19) \quad \text{を満足する様に定めればよいことになる。}$$

上式で、 $\xi_m$  は m 次の固有値を表し、 $\omega_m$  は内容液の m 次の固有振動数で、 $\xi_m$  を用いて

$$\omega_m^2 = g \xi_m \tanh \xi_m H \quad (20) \quad \text{によって与えられる。} \quad \phi_m \text{ と } \xi_m \text{ は式(17)と式(12)から得られる}$$

$$\partial \phi_m / \partial \alpha = 0, \quad (\alpha = \alpha_{a,b}) \quad (21) \quad \text{を用いて定めればよい。}$$

さて、式(17)と(21)を満たす  $\phi_m$  の解析解を求めるることは簡単ではないので、本論ではそれを差分法を用いて求めることにした。

$\phi_m$  と  $\xi_m$  が得られれば、内容液の波高  $\eta$  と動水圧応答  $\sigma$  は次式によって与えられる。

$$\eta = -(\partial \phi / \partial t) / g, \quad (z = 0) \quad (22) \quad \sigma = -\rho (\partial \phi / \partial t) \quad (23)$$

3. 実験結果及び理論値との対比 実験に用いた二重槽タンクは厚さ 1 cm のアクリル製で、内槽の外径が 0.3 m、外槽の内径が 0.39 m、高さが 0.8 m である。内容液としては水を用い、水深は 0.5 m とした。偏心距離を 0.04 m にとり、二重槽タンクを振動台上に固定して偏心方向に加速度振幅 2 gal で調和加振を行い、加振振動数間隔 0.02 Hz 毎に振動方向のタンク壁面上の動水圧を計測して、その共振曲線を求めた。計測位置は水面下 0.1, 0.3, 0.5 m の 3 箇所である。加振振動数の範囲は 0.5~1.1 Hz である。この振動数範囲においてはアクリル製タンクは剛だと考えてよい。また、共振点に於いて減衰自由振動実験を行って、内容液の固有振動数と減衰定数を求めた。得られた固有振動数は 0.83 Hz、減衰定数は 0.006~0.009 であった。一方、理論解析によって得られた固有振動数は 0.82741 Hz であり、両者はよく一致している。数値計算に際して差分法で採用した分割数は  $\alpha$  方向に 7 等分、 $\beta$  方向に 19 等分である。次に、水面下 0.3 m における動水圧強度の共振曲線を図-3, 4 に示す。図-3, 4 はいずれも外槽の内壁面上で水面下 3 cm における動水圧強度の共振曲線であるが、図-3 は内壁との間隔が広い方のものであり、図-4 はそれが狭い方のものである。両図を比較するとそのピーク値について後者の動水圧強度の方が約 1.5 倍程度大きいことがわかる。図-3 については実験値と理論値はよく一致しているといえるが、図-4 については実験値の方が理論値より多少大きくなっている。採用した減衰定数の値によって理論値はかなり大きな影響を受けることを考慮すれば、理論計算の結果は実験結果と比較的よく一致しているといえよう。このことから、本論の解析法の有用性が示されたといつてもよいであろう。なお、本論で示した解析法に従えば、深さ方向 ( $z$  方向) を分離することによって、平面状 (2 次元) の差分方程式を解くだけで、偏心のある円筒二重槽タンク内容液の 3 次元的な動的挙動を明らかにすることができる所以、計算に要する時間が少なくて済むことになる。

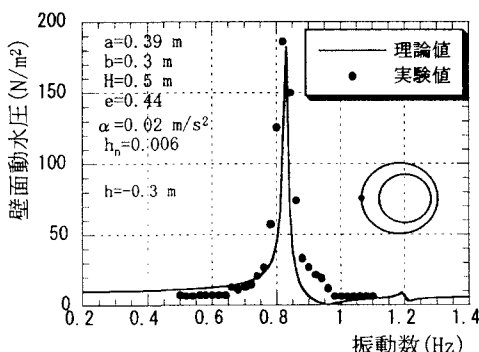


図-3 外槽タンクの壁面動水圧強度応答 (1)

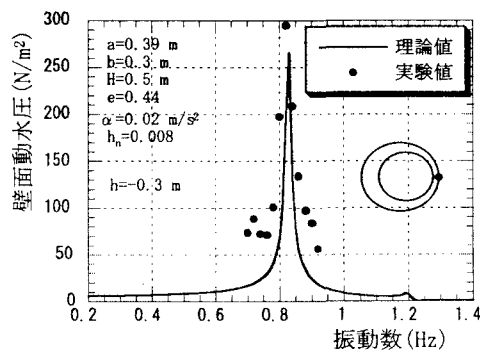


図-4 外槽タンクの壁面動水圧強度応答 (2)